# \_\_\_\_\_ ФИЗИЧЕСКИЕ СВОЙСТВА \_\_\_\_ КРИСТАЛЛОВ

УЛК 535:37:548.0

# ИССЛЕДОВАНИЕ ЛЮМИНЕСЦЕНТНЫХ СВОЙСТВ ЖЕЛАТИНЫ И ЕЕ ВЛИЯНИЕ НА ЛЮМИНЕСЦЕНЦИЮ МИКРОКРИСТАЛЛОВ AgHal

© 2022 г. 3. И. Карданова<sup>1,\*</sup>, А. Х. Ципинова<sup>1</sup>, И. К. Азизов<sup>1</sup>

<sup>1</sup>Кабардино-Балкарский государственный университет им. Х.М. Бербекова, Нальчик, Россия \*E-mail: zam. 182@inbox.ru
Поступила в редакцию 30.10.2020 г.

После доработки 13.03.2021 г. Принята к публикации 12.07.2021 г.

Исследованы люминесцентные свойства желатины и влияние ее различных типов на люминесцентные свойства микрокристаллов галогенидов серебра. Установлено, что по длительности фосфоресценции можно определить фотографическую активность желатины. Выяснены возможные механизмы взаимодействия различных типов желатины с поверхностью AgHal микрокристаллов.

**DOI:** 10.31857/S0023476122020072

## **ВВЕДЕНИЕ**

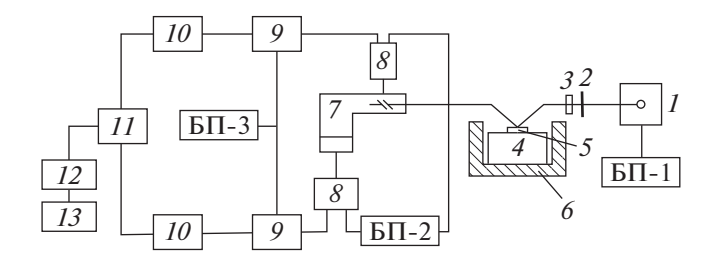
Существует мнение, что желатина является нейтральной средой, предотвращающей слипание микрокристаллов галогенидов серебра, которые в ней находятся. Задачей данных исследований является выяснение степени влияния различных типов желатин: высокоактивной медленной (ВаМ), высокоактивной средней (ВаС), малоактивной медленной (МаМ), а также инертной желатины на формирование фотографической чувствительности путем образования электроноакцепторных примесных центров на поверхности нано- и микрокристаллов AgHal. Эта цель достигается в результате исследования люминесцентных свойств желатины, приведенной в контакт с микрокристаллами галогенидов серебра, при различных условиях в соответствии с технологией производства фотографических материалов.

В фотографических эмульсиях желатина выполняет несколько функций, важнейшей из которых является формирование фотографической чувствительности путем образования электроноакцепторных примесных центров на поверхности нано- и микрокристаллов AgHal. Эти центры возникают при взаимодействии AgHal с соединениями лабильной двухвалентной серы, присутствующими в желатине, во время так называемого химического созревания, т.е. длительного прогрева системы AgHal + желатина. Независимо от конкретного механизма этого взаимодействия (пока остающегося предметом дискуссий) химическое созревание можно представить как процесс в широком смысле слова восстановительный, связанный с передачей электронов от желатины к AgHal. Скорость и конечный результат созревания существенно зависят от типа желатины, который характеризует в конечном счете именно ее электронно-донорную способность.

Фотографические желатины по их поведению во время созревания принято разделять, во-первых, на мало- и высокоактивные, во-вторых, на медленные, средние и быстрые. Первый признак характеризует максимально достижимый уровень чувствительности эмульсий, а второй — скорость достижения этого уровня. Кроме названных типов существует так называемая инертная желатина, не подпадающая под стандарт и по определению совсем лишенная активных соединений, а практически содержащая их в количествах, почти не влияющих на формирование чувствительности при созревании.

### МАТЕРИАЛЫ И МЕТОДИКА ЭКСПЕРИМЕНТА

Для выяснения некоторых особенностей влияния желатины на люминесцентные свойства кристаллов AgHal в 10%-ный раствор желатины типа BaM вводили порошки AgBr и AgCl, приготовленные при комнатной температуре из сливаемых растворов AgNO<sub>3</sub> и KHal [1]. Образцы для исследования отбирали следующим образом. Раствор желатины + AgHal при 25°C наносили тонким слоем на стеклянную пластинку. Для устранения влияния толщины слоя желатины на результаты исследований выливали одинаковые объемы растворов на одинаковые по площади пластины. Высушенные образцы отделяли от стеклянной подложки и помещали в сосуд Дьюа-

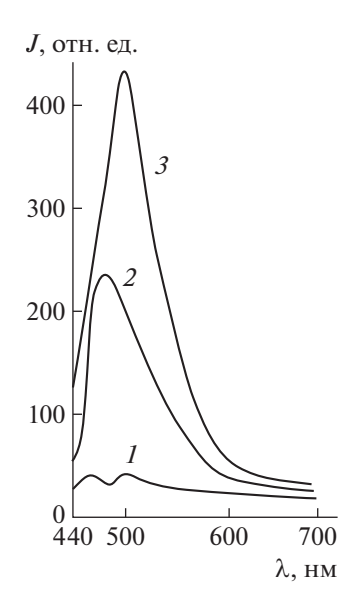


**Рис. 1.** Экспериментальная установка для получения спектров люминесценции: I — источник возбуждающего излучения ДРШ 250; 2 — светофильтр, выделяющий возбуждающее излучение; 3 — монохроматор, выделяющий возбуждающее излучение; 4 — криостат; 5 — исследуемый образец; 6 — терморегулятор; 7 — монохроматор для анализа спектра излучения; 8 — фотоумножители; 9 — усилители постоянного тока; 10 — цифровой вольтметр; 11 — устройство ввода—вывода; 12 — вычислительное устройство; 13 — графопостроитель

ра с жидким азотом, после чего измеряли их спектры люминесценции.

Спектры люминесценции эмульсионных слоев были получены на автоматическом спектральном комплексе КСВУ-23 (рис. 1).

В спектральном комплексе источником УФ-излучения является ртутная лампа сверхвысокого давления ДРШ-250. Длина волны для возбуждения люминесценци  $\lambda = 365$  нм выделяется с помощью стандартных стеклянных светофильтров с высокой монохроматичностью. Время возбуждения фосфоресценции одинаково для всех образцов и составляет 30 с.

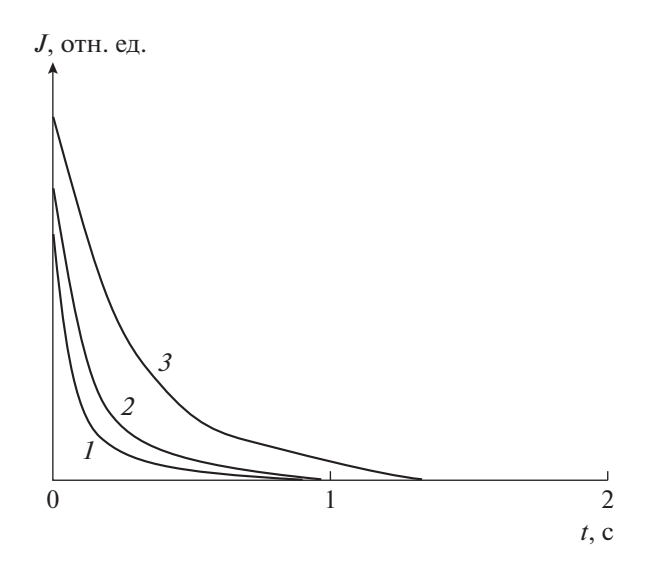


**Рис. 2.** Спектры люминесценции AgBr-порошка, прогретого в желатине BaM: 1 — до прогрева, 2 — после первого прогрева, 3 — после второго прогрева.

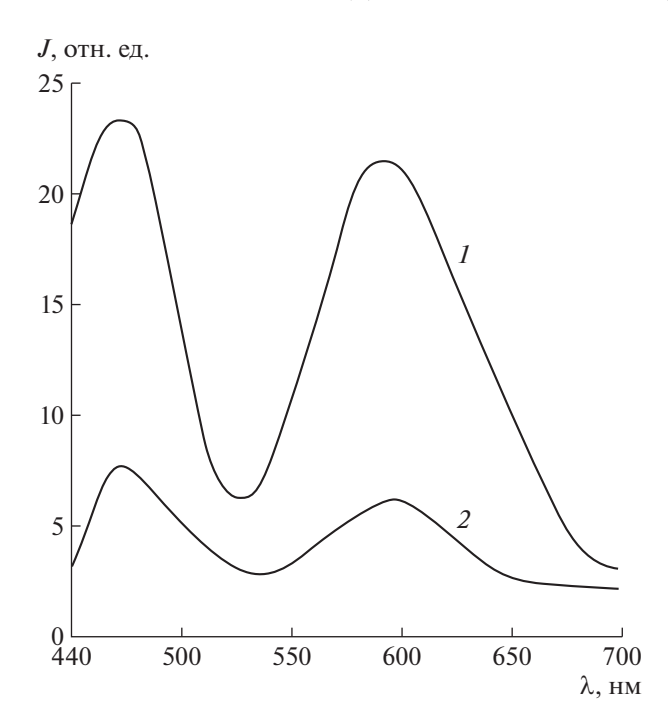
## РЕЗУЛЬТАТЫ И ИХ ОБСУЖДЕНИЕ

В спектре люминесценции первого образца AgBr имеются две слабые полосы (рис. 2): при  $\lambda =$ = 465 нм, характерная для желатины, и при  $\lambda =$ = 500 нм. В спектре люминесценции второго образца наблюдается одна интенсивная голубая полоса. У третьего образца наблюдается увеличение интенсивности полосы  $\lambda = 500$  нм, излучение происходит по механизму Лэмба-Клика (Л-К). Из приведенных данных видно, что при взаимодействии желатины с порошком AgBr образуются новые центры излучения, способные локализовать фотоэлектроны. Увеличение интенсивности люминесценции при прогреве до 52°C говорит о том, что образуется большее количество центров излучения, т.е. усиливается взаимодействие между поверхностью микрокристаллов AgBr и желатиной. Помимо центров излучения, вероятно, образуются также мелкие уровни прилипания электронов и дырок [2], что в проведенных опытах подтверждается увеличением длительности фосфоресценции третьего образца по сравнению со вторым и второго — по сравнению с первым (рис. 3).

Уместно предположить, что центрами излучения, способными акцептировать фотоэлектроны, являются либо ионы серебра, восстановленные до атомов при взаимодействии AgBr с желатиной, либо центры  $Ag_2S$ , которые способны локализовать фотоэлектроны. Для выяснения природы центров захвата был приготовлен малочувствительный слой фотографической AgBr-эмульсии типа "Фотоконт", в спектре низкотемпературной люминесценции наблюдались два максимума при  $\lambda = 465$  и  $\lambda = 580$  нм (рис. 4). Засвечивание такого образца неразложенным светом ртутной



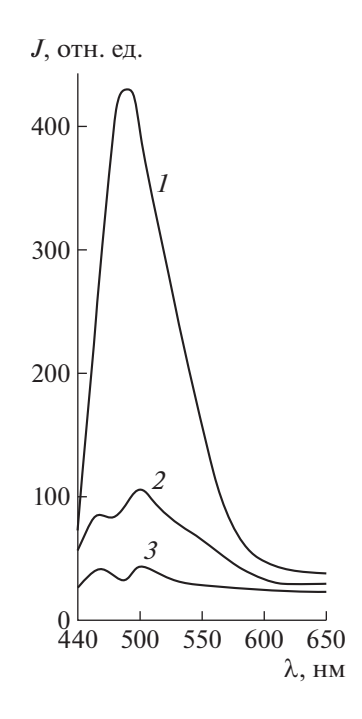
**Рис. 3.** Кинетика затухания AgBr-порошка, прогретого в желатине BaM (осциллограммы),  $T_1 \le T_2 \le T_3$ .



**Рис. 4.** Спектры люминесценции AgBr-эмульсии типа «Фотоконт»: I — не засвеченной, 2 — засвеченной.

лампы приводит к уменьшению интенсивности Jсвечения по всему спектру. Поскольку засветка заведомо приводит к образованию частиц серебра, для кристаллов с механизмом Л-К уменьшение интенсивности люминесценции показывает, что центрами люминесценции являются не атомы Ag. Поэтому исключается, что при взаимодействии желатины с AgBr-порошком образуются не только Ад<sub>2</sub>S-центры, но и центры типа Ад, являющиеся уровнями прилипания для электронов и дырок. Об этом говорит, в частности, тот факт, что в опытах наблюдалось увеличение длительности фосфоресценции (рис. 3). Отметим, что прогрев сухого AgBr-порошка до 52°C без желатины не приводит к каким-либо изменениям люминесцентных свойств, т.е. все наблюдавшиеся изменения являются результатом именно взаимодействия AgBr с желатиной при повышенной температуре.

По такой же методике были приготовлены AgCl-порошок и растворы желатины + AgCl. В спектре люминесценции порошка AgCl имеется интенсивная полоса при  $\lambda_{\text{max}} = 480$  нм (рис. 5), излучение которой происходит по механизму Шона—Классена. Интенсивность люминесценции слоев желатины + AgCl-порошков меньше интенсивности люминесценции чистого порошка AgCl. Интенсивность люминесценции второго образца еще меньше, а интенсивность люминесценции третьего образца соответствует уровню люминес-

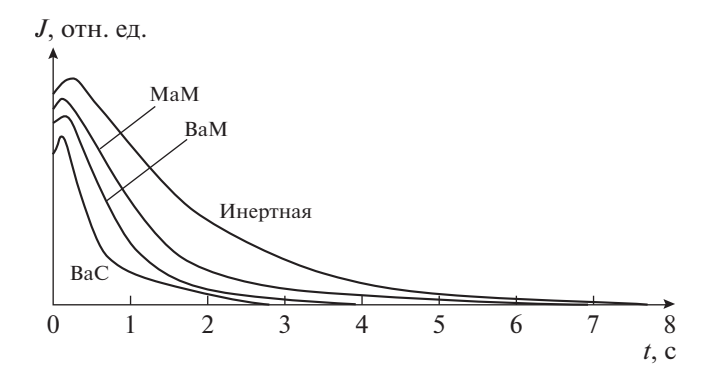


**Рис. 5.** Спектры люминесценции AgCl-порошка, прогретого в желатине BaM: I — до прогрева, 2 — после первого прогрева, 3 — после второго прогрева.

ценции желатины, т.е. с увеличением времени прогрева порошка в желатине происходит полное гашение полосы  $\lambda_{max} = 480$  нм.

Можно предположить, что при смешивании AgCl-порошка с желатиной на поверхности микрокристаллов AgCl также образуются Ag<sub>2</sub>S-центры, по мере прогрева их количество увеличивается и может наступить такой момент, когда центров станет достаточно много для захвата всех электронов, образующихся при действии на AgCl возбуждающего света данной интенсивности. С этим фактом связано наблюдаемое уменьшение интенсивности люминесценции AgCl-порошка в желатиновом растворе [3]. Отметим, что прогретые до 52°С в течение 60 мин порошки AgCl не обнаруживают каких-либо изменений люминесцентных свойств.

В связи с вопросом о взаимодействии между желатиной и AgHal в работе исследовали люминесцентные свойства 10%-ных водных растворов желатины четырех типов: BaC, BaM, MaM, инертные [4]. Спектры люминесценции сухих слоев желатины всех типов и их 10%-ных водных растворов совпадают и имеют максимум  $\lambda_{\text{max}} = 465$  нм. Водные растворы желатин при 77 К имеют длительную и при том аномальную (не монотонно меняющуюся) фосфоресценцию. С увеличением активности желатины J и длительность фосфоресценции уменьшаются (рис. 6). Наличие аномальной фосфоресценции свидетельствует



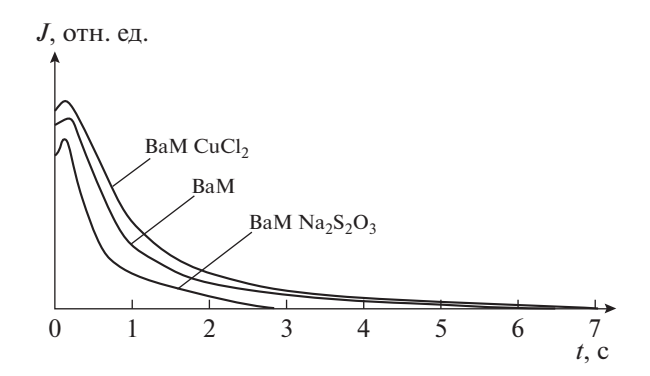
**Рис. 6.** Кинетика затухания 10%-ных водных растворов различных желатин при  $77~{\rm K}$  (осциллограммы).

прежде всего о том, что в растворах чистой желатины имеются уровни локализации для электронов. Это согласуется с данными [5], где обнаружено наличие максимумов термовысвечивания при прогреве желатиновых пленок, возбуждаемых при температуре 77 К.

Если в 10%-ные водные растворы всех желатин ввести водный раствор, аномальная фосфоресценция исчезает, а длительность фосфоресценции уменьшается [6]. Это показывает, что между желатиной и AgNO<sub>3</sub> происходит взаимодействие. При 77 К в спектре люминесценции таких образцов после высушивания имеется широкая интенсивная полоса с  $\lambda_{\text{max}} = 610$  нм. С увеличением активности желатины интенсивность люминесценции этой полосы растет, хотя водный раствор AgNO<sub>3</sub> не светится при 77 K, даже если до этого прогреть его без желатины, в спектре свечения желатины имеется только одна полоса  $\lambda_{max}$  = =465 нм. Полосу  $\lambda_{\rm max}=610$  нм можно получить также прогревом раствора AgNO<sub>3</sub> в растворе желатины. Следовательно, найденная как до, так и после прогрева полоса обусловлена одной и той же причиной — взаимодействием AgNO<sub>3</sub> с желатиной. Интенсивность люминесценции полосы  $\lambda_{\max} = 610$  нм у засвеченного образца больше, чем у незасвеченного; отсюда можно сделать заключение, что при взаимодействии желатины с AgNO3 в рассмотренных случаях получаются центры типа Ag, а не Ag<sub>2</sub>S.

Представляло интерес выяснить причины различной длительности фосфоресценции желатины с разной активностью. В связи с этим был проведен следующий опыт: в раствор желатины типа BaM вводили  $Na_2S_2O_3$  либо  $CuCl_2$ , и измеряли длительность фосфоресценции таких образцов. Полученные длительности достаточно близки к измеренным для BaC и MaM (рис. 7).

Кроме того, в растворы желатины MaM, BaM и BaC вводили AgCl-порошок. В течение часа эту



**Рис. 7.** Кинетика затухания желатины BaM с микропримесями (осциллограммы).

суспензию нагревали до температуры  $52^{\circ}$ С. После этого образцы по интенсивности люминесценции J распределяли следующим образом: самая меньшая J была у образца с желатиной BaC, несколько больше — у образца с желатиной BaM и еще больше — у образца с желатиной MaM. Такое же распределение J свечения, как указано выше, получено для образцов AgCl + (BaM + Na<sub>2</sub>S<sub>2</sub>O<sub>3</sub>) и AgCl + (BaM + CuCl<sub>2</sub>).

#### ЗАКЛЮЧЕНИЕ

При исследовании спектрального состава фосфоресценции желатины типов МаМ, ВаМ, ВаС установлено, что по мере увеличения активности желатины происходит перераспределение интенсивности коротковолновых и длинноволновых полос свечения, а именно, с ростом активности желатины уменьшается J коротковолнового свечения и растет J длинноволнового. Интересно отметить, что кинетика затухания для отдельных длин волн в пределах спектра излучения не имеет аномалии. Затухание происходит по экспоненциальному закону, но с различными скоростями для каждой линии.

Как известно, при изготовлении желатины наиболее активным является первый слив бульона, а все последующие сливы располагаются в порядке убывающей активности. Поэтому чем желатина менее активна, тем больше время ее пребывания в условиях, благоприятствующих распаду полимерных цепей. Это различие в ряду ВаС-ВаМ-МаМ означает, что сравниваемые образцы различны не только по содержанию активных примесей, но и по длине полимерной цепи, а значит, и по молекулярному весу. Априори неизвестно, определяются ли наблюдаемые различия фосфоресценции и фотографическая активность именно содержанием активных микропримесей или свойствами полимерной цепи желатины (возможно, как тем, так и другим).

Однако полученные данные определенно указывают на преобладающую роль микропримесей. Эти данные также дают основание полагать, что измерение фосфоресценции желатины послужит в дальнейшем основой для практического метода быстрого определения фотографической активности желатины без химических или фотографических испытаний.

#### СПИСОК ЛИТЕРАТУРЫ

1. *Азизов И.К., Белимготов Б.А.* // Вестник Дагестанского научного центра РАН. 2001. № 12. С. 42.

- 2. *Мотт Н., Герни Р. //* Электронные процессы в ионных кристаллах. М.: ИЛ, 1952. С. 304.
- 3. Azizov I.K., Belimgotov B.A., Kardanova Z.I., Khokonov Kh.B. // Crystallography Reports. 2012. V. 57. № 7. P. 920. https://doi.org/10.1134/S1063774512070036
- 4. *Картужанский А.Л., Азизов И.К.* // Журн. прикл. спектроскопии. 1973. Т. 19. № 5. С. 872.
- 5. *Белоус В.М., Картужанский А.Л., Кэхва Т.З. и др. //* Доклад на 8-й Международной конференции по ядерной фотографии, Бухарест, октябрь 1972. С. 17.
- 6. *Карданова З.И.* // Международный научно-исследовательский журнал. 2014. № 5 (24). Ч. 1. С. 8.